

УДК 524.5

B. M. ТЕРЕЩЕНКО

ОЦЕНКА МЕЖЗВЕЗДНОГО ПОГЛОЩЕНИЯ В ОКРЕСТНОСТЯХ СОЛНЦА ПО СПЕКТРОФОТОМЕТРИЧЕСКИМ ДАННЫМ

Представлены результаты определения межзвездного поглощения в окрестностях Солнца в направлении созвездия Кассиопеи. В данном направлении поглощение не обнаружено.

При спектральных наблюдениях в ультрафиолетовой области (100–300 нм) в качестве первичных спектрофотометрических стандартов наиболее рационально использовать белые карлики с чисто водородной атмосферой. Относительное, т.е. нормированное в какой-то длине волны, спектральное распределение энергии $e(l)$ для таких карликов довольно точно вычисляется из моделей атмосфер. Для абсолютизации относительного распределения энергии в спектре любого небесного тела достаточно знать либо поток от него в какой-то длине волны, либо звездные величины исследуемого объекта и звезды с известным потоком энергии в одной из фотометрических полос. Абсолютизация кривых $e(l)$ для белых карликов в последнем случае осуществляется по формуле:

$$E(l) = E_0(l_e) \cdot 10^{-0,4Dm} \cdot e(l_e), \quad (1)$$

где $E(l)$ и $E_0(l_e)$ – соответственно внеатмосферные освещенности, создаваемые белым карликом в какой-то длине волны l и звездой-стандартом с известным потоком в эффективной длине волны избранной полосы; $e(l)$ – вычисленное из моделей атмосфер относительное распределение энергии в спектре белого карлика, предполагается, что нормировка выполнена в эффективной длине волны l_e ; $10^{-0,4Dm}$ – абсолютизирующий множитель, в котором Dm – разность звездных величин звезды-стандарта и белого карлика в избранной полосе.

Именно таким путем были созданы стандарты для наблюдений в ультрафиолетовой области в Институте космического телескопа [1, 2].

К сожалению, первичных стандартов – белых карликов – всего три, что явно недостаточно. В работе [3] мы предложили дополнить список стандартов для ультрафиолетовой области более яркими «обычными» звездами ранних спектральных классов, которые находятся приблизительно на тех же или немного больших расстояниях.

Ввиду близости белых карликов к Солнцу, «а priori» принимается, что для них межзвездное поглощение равно нулю. Однако, для большей уверенности, желательно оценить возможное поглощение на основании данных, полученных из наблюдений. Актуальность оценки межзвездного поглощения в окрестностях Солнца возрастает для рекомендуемых нами дополнительных стандартов [3], которые в целом находятся дальше, чем стандарты-белые карлики.

Для оценки поглощения мы решили использовать Алма-Атинский спектрофотометрический каталог звезд [4]. Оценка основана на следующих предположениях. Если не рассматривать случаи околозвездных оболочек, то зависимость поглощения (в звездных величинах) от обратной длины волны в видимой области спектра практически линейная, с изломом в районе 435 нм [5]. При этом величина селективного поглощения в видимой области спектра связана с величиной общего поглощения множителем R , численное значение ого, в общем случае, зависит от свойств пыли в данном направлении и длины волны, в которой осуществляется нормировка. В случае фотометрических наблюдений множитель зависит от выбранных фотометрических полос. Например, в фотометрической системе UVW множитель, связывающий избыток цвета $E_{B-V} = (B-V)_{obs} - (B-V)_0$ и общее поглощение в полосе V равен $3,1 \pm 0,1$, т.е. $A_V = (3,1 \pm 0,1) \cdot E_{B-V}$. Селективное поглощение в спектрофотометрических исследованиях определяется, как и в фотометрии, в звездных величинах по формуле:

$$Dm(l) = A(l) = -2,5 \cdot \lg[e(l)/e_0(l)], \quad (2)$$

где $e_0(l)$ и $e(l)$ – соответственно нормированные в определенной длине волны кривые распределения энергии для «близких» и «далеких» звезд одного и того же спектрального класса и класса светимости. Отсутствие тренда $A(1/l)$ с обратной длиной волны (увеличения поглощения с

уменьшением длины волны) можно рассматривать в качестве критерия отсутствия заметного поглощения.

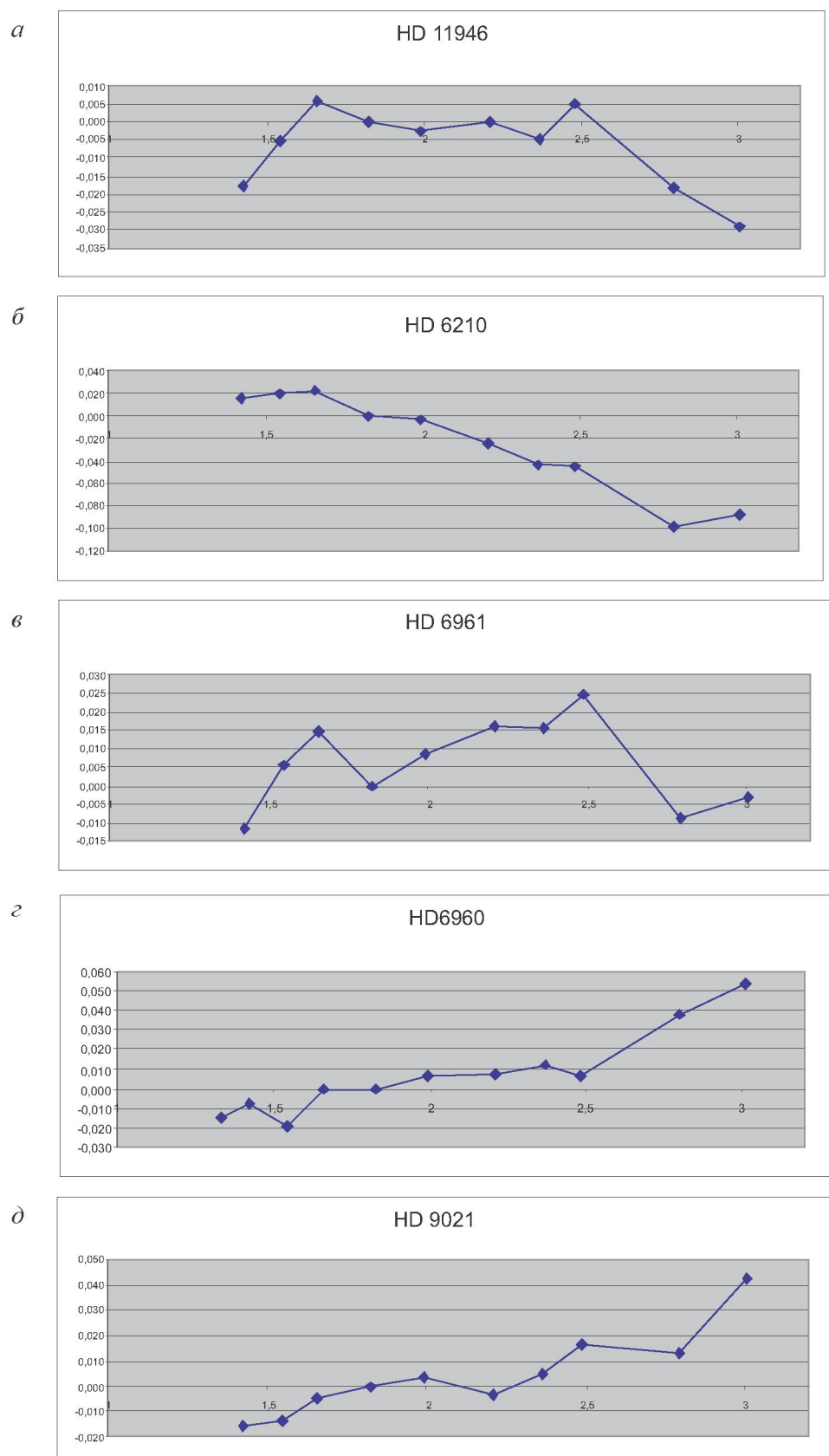
Начальный этап исследования состоял в выборе области неба и «подходящих» звезд из каталога [4]. Выбор площадки был произволен, но логично выбрать ее в плоскости Млечного пути, где поглощение заведомо больше, чем вне ее. Мы выбрали площадку на небе в направлении на созвездие Кассиопеи со следующими границами: по прямому восхождению от 23 часов до 2 часов и по склонению – от 50 до 70 градусов. В этой области было выбрано 32 звезды ранних спектральных классов B–F. Их список и характеристики приведены в табл. 1.

Следующий этап – поиск «нормальных» относительных распределений энергии в спектре звезд соответствующих спектральных классов, т.е. усредненных относительных распределений

для «близких» звезд. Здесь возникает вопрос, – какие звезды считать «близкими»? При исследовании поглощения на расстояниях порядка парсека и больше близкими могут считаться звезды, расстояние до которых менее 200 пк. Но мы пытаемся обнаружить поглощение как раз в этих пределах. Для нашего случая близкими следовало бы считать звезды, расстояние до которых менее 50–70 пк. Поэтому полученные другими авторами «нормальные» распределения энергии в спектрах звезд не всегда пригодны для наших целей. С другой стороны, близких звезд ранних спектральных классов, которые наиболее подходящие для целей определения межзвездного поглощения, очень мало. В данной работе мы ограничились (в качестве первого приближения) данными о «нормальных» распределениях энергии в спектрах звезд из цикла работ А. В. Харитонова и Л. Н. Князевой [6].

Таблица 1. Список и характеристики звезд, использованных для оценки поглощения

№ п/п	Название звезды	№ по HD	α_{2000}	δ_{2000}	π	V	B–V	Sp
1	10 Cas	000144	00 ^h 06 ^m 33 ^s	64°11',8	0,"003	5,m59	-0,m02	B8III
2	β Cas	000432	00 09 11	59 09,0	0,060	2,27	0, 380	F2IV
3	–	001976	00 24 16	52 01,2	0,002	5,57	-0,110	B5IV
4	12 Cas	002011	00 24 47	61 49,9	0,004	5,40	0,008	B9III
5	λ Cas	002772	00 31 46	54 31,3	0,009	4,73	-0,098	B8V
6	ζ Cas	003360	00 36 58	53 53,8	0,005	3,66	-0,196	B2V
7	ξ Cas	003901	00 42 04	50 30,8	0,003	4,80	-0,105	B2V
8	π Cas	004058	00 43 28	47 01,5	0,019	4,94	0,170	A5V
9	ν Cas	004636	00 48 50	50 58,1	0,008	4,89	-0,091	B9III
10	–	005015	00 53 04	61 07,4	0,054	4,82	0,540	F8V
11	–	005408	00 56 47	60 21,8	0,005	5,55	-0,054	B9IV
12	–	006210	01 04 20	61 34,8	0,012	5,84	0,569	F6V
13	31 Cas	006829	01 10 39	68 46,7	0,010	5,29	0,010	A0V
14	–	006960	01 11 26	64 12,2	0,008	5,55	-0,052	B9.5V
15	θ Cas	006961	01 11 06	55 09,0	0,024	4,33	0,170	A7V
16	32 Cas	006972	01 11 41	65 01,1	0,009	5,57	-0,072	B9IV
17	–	008398	01 24 12	51 10,4	–	7,7	0,1	A2V
18	δ Cas	008538	01 25 49	60 14,1	0,033	2,68	0,160	A5III-
19	38 Cas	009021	01 31 14	70 15,9	0,034	5,81	0,489	F6V
20	42 Cas	010250	01 42 56	70 37,4	0,012	5,18	-0,022	B9V
21	ε Cas	011415	01 54 24	63 40,2	0,007	3,38	-0,150	B3III
22	ω Cas	011529	01 56 00	68 41,1	0,005	4,99	-0,084	B8III
23	–	011946	01 59 38	64 37,3	0,013	5,26	0,002	A0V
24	48 Cas	012111	02 01 57	70 54,4	0,028	4,54	0,164	A3IV
25	50 Cas	012216	02 03 26	72 25,3	0,020	3,98	-0,002	A2V
26	52 Cas	012279	02 02 53	64 54,1	0,011	6,00	0,029	A1V
27	θ Per	016895	02 44 12	49 13,7	0,089	4,12	0,514	F8V
28	π Per	018411	02 58 46	39 39,8	0,010	4,70	0,065	A2V
29	1 Cas	218376	23 06 37	59 25,2	0,003	4,85	-0,060	B05IV
30	7 And	219080	23 12 33	49 24,4	0,041	4,52	0,302	F0V
31	–	223274	23 47 54	67 48,4	0,011	5,04	0,007	A1V
32	σ Cas	224572	23 59 00	55 45,3	0,002	4,88	-0,071	B1V



Зависимость межзвездного поглощения от обратной длины волн
для 5 произвольно выбранных звезд созвездия Кассиопеи

Таблица 2. Набор длин волн и пример абсолютных и нормированных распределений для двух звезд: π Cas [B8V; 111 пк] и ρ Cas[A5V; 52 пк]

$\lambda, \text{\AA}$	$1/\lambda$	$E(\lambda)\lambda_{\text{Cas}}$	$e(\lambda)\lambda_{\text{Cas}}$	$E(\lambda)\pi_{\text{Cas}}$	$e(\lambda)\pi_{\text{Cas}}$
3325	3,01	0,00825	1,708	0,00285	0,729
3525	2,80	0,00707	1,464	0,00280	0,716
4025	2,48	0,01195	2,474	0,00847	2,166
4225	2,37	0,01071	2,217	0,00712	1,821
4525	2,21	0,00861	1,783	0,00615	1,573
5025	1,99	0,00622	1,288	0,00489	1,251
5475	1,83	0,00483	1,000	0,00401	1,000
6025	1,66	0,00359	0,743	0,00306	0,783
6475	1,56	0,00281	0,582	0,00259	0,662
7025	1,42	0,00209	0,433	0,00203	0,519
7525	1,33	0,00169	0,350	0,00156	0,399

Определение селективной составляющей межзвездного поглощения проводилось по формуле (2). Выбор длин волн приведен в табл. 2, из которой следует, что он рассчитан на звезды ранних спектральных классов. Далее строились графики зависимости Dm ($1/\lambda$) для всех 32 звезд табл. 1. Как упоминалось выше, при наличии обнаружимого поглощения на них должен наблюдаться тренд, – увеличение поглощения с уменьшением длины волны. Примеры нескольких таких графиков приведены на рис., а–д. Наблюдаемый разброс точек на кривых поглощения свидетельствует о случайных ошибках кривых распределений энергии в спектрах как использовавшихся звезд, так и «нормальных» распределений. Случай обратного тренда, – как для звезды HD 5210, говорят либо о систематических ошибках в распределении энергии в спектрах этих звезд или об их пекулярности и, соответственно, о невозможности использования для определения поглощения. Тот же эффект будет наблюдаться и в случае, если «нормальное» распределение соответствующего типа звезд отягощено межзвездным поглощением. Из «разнобоя» всех полученных кривых следует, что межзвездное поглощение в выбранном направлении на расстояниях порядка 100 пк практически не обнаруживается. Данное заключение подтверждает идею об околосолнечном «пузыре» [7, 8]. Ввиду клочковатости межзвездной среды для других направлений поглощение может быть обнаружено. Следовательно, попытки обнаружить межзвездное поглощение в окрестностях Солнца следует продолжить. Вместе с тем, следует попытаться обнаружить поглощение, используя нормальные распределения, полученные несколько иным путем.

На наш взгляд при выведении «нормальных» распределений энергии для звезд определенных спектральных классов представляется возможным усреднять кривые распределения энергии соседних спектральных классов. Различия между ними часто оказываются намного меньше, чем естественный разброс для звезд одного и того же спектрального класса. Разброс кривых распределения энергии для звезд одного и того же спектрального типа обусловлен различиями химического состава, турбулентных скоростей, скоростей вращения и других физических параметров, а также неточностью спектральной классификации. Точность же последней, судя по данным из двух последних изданий каталога ярких звезд (BS-4 и BS-5), порядка одного-двух подклассов. Результаты «второго приближения» будут изложены в другой работе.

ЛИТЕРАТУРА

- Bohlin R.C., Dickinson M.E., Galzetti. Spectrophotometric standards from the far-ultraviolet to the near-infrared: STIS and NICMOS fluxes // Astron. J. 2001. V. 122. P. 2118-2128.
- Bohlin R.C. HST stellar standards with 1% accuracy in absolute flux // The future of photometric, spectrophotometric and polarimetric standardization / Ed. C. Sterken. 2007.
- Терещенко В. М. Спектрофотометрические стандарты для наблюдений в ультрафиолетовой области спектра / Сб. «Казахстанские космические исследования». Т. 6. В печати.
- Харитонов А. В., Терещенко В. М., Князева Л. Н. Спектрофотометрический каталог звезд. Алма-Ата: «Наука» КазССР, 1988. 478 с.
- Страйджес В. Многоцветная фотометрия звезд. Вильнюс: Мокслас, 1977. 312 с.
- Харитонов А.В., Князева Л.Н. Нормальное распределение в спектрах звезд // Астрон. журн. 1993. Т. 70, № 4. С. 740; 1994. Т. 71, № 2. С. 264; 1996. Т. 73, № 6. С. 906; 1998. Т. 75, № 1. С. 70.
- Frisch P.C. The local bubble and interstellar material near the sun // http://fr.arxiv.org/PC_cacke/astro-ph/pdf0702.
- Vergely J.-L., Ferrero R.F., Egret D., Koppen J. The interstellar extinction in the solar neighbourhood // Astron. Astrophys. 1998. 340. P. 543-555.

Резюме

Кассиопея шоқжұлдызы бағытында Құн маңайындағы жұлдызаралық жұтылууды анықтаудың мәліметтері үсінілді. Атапан бағытта жұтылу табылған жоқ.

Summary

The results of determination of the interstellar extinction in the solar neighbourhood towards in constellation Cassiopeia are presented. In this direction the absorption not is detected.

ДТОО «АФИФ» АО НЦКИТ,

г. Алматы

Поступила 6.05.2010г.